

Tópico 4 - Forças centrais

①

Consideremos com simplicidade um sistema de referência cuja origem é fixada no centro de uma força (por exemplo na origem das partículas ou no centro de massa no caso de um sistema de duas partículas). Se a força puder ser escrita como

$\vec{f}(\vec{r}) = F(r) \hat{r}$, a força é denominada força central, de forma que ela aponta para o centro quando for atrativa e para fora do centro quando for repulsiva. A intensidade da força só depende da distância do seu centro até a partícula.

Mais especificamente, dado um sistema de duas partículas de massas m_1 e m_2 , tendo apenas uma interação mutua entre elas (força central), aplicando a 2ª lei de Newton num referencial fixo na origem temos

$$m_1 \ddot{\vec{r}}_1 = \vec{F}_{12}$$

$$m_2 \ddot{\vec{r}}_2 = \vec{F}_{21}$$

Sabemos que $m_1 \ddot{\vec{r}}_1 + m_2 \ddot{\vec{r}}_2 = 0$, de

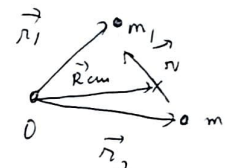
forma que $\frac{d}{dt} (m_1 \vec{r}_1 + m_2 \vec{r}_2) = 0$ ou

$m_1 \vec{r}_1 + m_2 \vec{r}_2 = \text{cte}$ (o vetor momento linear total é conservado).

Consideremos agora a posição do centro de massa \vec{R}_{cm} e relativa \vec{r} dadas por

$$\vec{R}_{cm} = \frac{m_1 \vec{r}_1 + m_2 \vec{r}_2}{m_1 + m_2} \quad ②$$

$$\vec{r} = \vec{r}_1 - \vec{r}_2$$



Multiplicando a 1ª equação por m_2 e a 2ª equação por m_1 , temos, ao subtrair as que:

$$m_1 m_2 (\vec{r}_1 - \vec{r}_2) = m_2 \vec{F}_{12} - m_1 \vec{F}_{21}$$

Dado que $\vec{F}_{12} = -\vec{F}_{21}$ temos

$$\vec{r}_1 - \vec{r}_2 = \frac{(m_1 + m_2)}{m_1 m_2} \vec{F}_{12}$$

Ou ainda $\mu \vec{r} = \vec{F}$ onde

$$\mu = \frac{m_1 m_2}{m_1 + m_2}$$

A equação acima pode ser interpretada como se fosse o movimento de uma única partícula de massa μ sujeita a uma força \vec{F} cujo centro

esta em uma das particulares

(3)

De acordo com o que escrevemos anteriormente,

como $(m_1 + m_2) \vec{R}_{cm} = \vec{p}_1 + \vec{p}_2 = \text{constante}$, \rightarrow nois
tivemos que $F_{12} = F_{21} = 0$
tivemos que

$\vec{R}_{cm} = \text{constante}$) de forma que o centro de massa esté em repouso ou em movimento retílineo uniforme. Se nos esquecermos $\vec{R}_{cm} = \vec{0}$
temos finalmente

$$\mu \ddot{\vec{r}} = \vec{F}(r) \quad \text{ou}$$

$$\frac{1}{2} \mu \dot{\vec{r}}^2 + u(r) = E,$$

$$\text{onde } u(r) = - \int_{-\infty}^r \vec{f}(\vec{r}') \cdot d\vec{r}'$$

$$\text{a energia potencial } (u(-\infty) = 0).$$

Portanto, basta considerarmos o movimento de uma "partícula de massa" μ sujeita a uma força central $f(r)$.

O momento (vetor) angular do sistema é dado por $\vec{L} = \vec{r}_1 \times \vec{p}_1 + \vec{r}_2 \times \vec{p}_2$.

Calculando (passando) para o referencial da velocidade relativa ao CM e lembrando que $\vec{R}_{cm} = \vec{0}$ temos:

$$\vec{r}_1 = \frac{m_2}{m_1 + m_2} \vec{r}$$

(4)

$$\vec{r}_2 = - \frac{m_1}{m_1 + m_2} \vec{r}$$

$$\vec{L} = \frac{m_2}{m_1 + m_2} \vec{r} \times \frac{m_1 m_2}{m_1 + m_2} \vec{r} +$$

$$(-) \frac{m_1}{m_1 + m_2} \vec{r} \times \frac{(-m_1)}{m_1 + m_2} m_2 \vec{r}$$

$$= \mu (\vec{r} \times \vec{r})$$

Por outro lado, como a força é central

$$\frac{d\vec{L}}{dt} = \mu (\vec{r} \times \ddot{\vec{r}}) + \mu (\dot{\vec{r}} \times \ddot{\vec{r}})$$

$$= 0 + \vec{r} \times (-\vec{F} \cdot \vec{r}) = 0,$$

e portanto o vetor momento angular é conservado na presença de uma força central. A conservação implica no vetor momento angular ser constante em módulo, direção e sentido e esta sempre perpendicular a \vec{r} e \vec{p} .

(5)

Portanto, o movimento da partícula sujeita a força central é sempre no mesmo plano perpendicular a $\vec{L} \rightarrow$ (ou seja $\vec{L} \perp \vec{r}$).

Sendo \vec{L} constante, os pontos varridos / percorridos por \vec{r} estarão sempre contidos num plano perpendicular a \vec{L} que passa nela origem, sendo assim, a trajetória fica inteiramente contida neste plano.

É conveniente estudar o movimento de uma partícula sujeita a uma força central usando coordenadas polares já que a força central depende da distância do centro da força e o movimento desse ~~do~~ está inteiramente contido num plano.

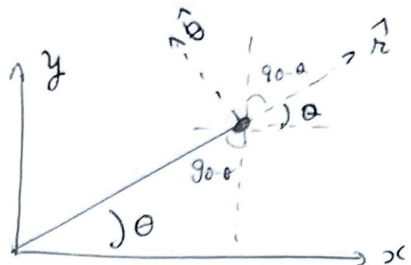
Dado que as componentes do vetor \vec{r} podem ser escritas em coordenadas polares por meio das coordenadas

(6)

Dadas as coordenadas polares

$$x = r \cos \theta$$

$$y = r \sin \theta$$



segue que $\hat{r} = \cos \theta \hat{i} + \sin \theta \hat{j}$

$$\hat{\theta} = -\sin \theta \hat{i} + \cos \theta \hat{j}$$

Note que $\hat{r} \cdot \hat{\theta} = 0$.

e $\vec{r} = r \hat{r}$ de forma que
 $\frac{d\vec{r}}{dt} = \dot{r} \hat{r} + r \hat{r}' = \dot{r} \hat{r} + r \dot{\theta} \hat{\theta}$, por

$$\dot{\hat{r}} = -\sin \theta \hat{i} + \dot{\theta} \cos \theta \hat{j} = +\dot{\theta} \hat{\theta}$$

Portanto

$$\begin{aligned}\vec{L} &= \mu \vec{r} \times (\dot{r} \hat{r} + r \dot{\theta} \hat{\theta}) \\ &= \mu r^2 \dot{\theta} \hat{z}\end{aligned}$$

Ainda podemos calcular $\frac{d\vec{r}}{dt}^2$ dada por

$$\ddot{\vec{r}} = \ddot{r} \hat{r} + \dot{r} \dot{\hat{r}} + r \ddot{\theta} \hat{\theta} + r \dot{\theta} \dot{\hat{\theta}} + r \dot{\theta} \ddot{\hat{\theta}}$$

$$\text{Mas } \dot{\hat{\theta}} = -\dot{\theta} (\sin \theta \hat{i} + \cos \theta \hat{j}) = -\dot{\theta} \hat{r}$$

$$\text{e entao } \ddot{\vec{r}} = (\ddot{r} - r \dot{\theta}^2) \hat{r} + (2\dot{r}\dot{\theta} + r \ddot{\theta}) \hat{\theta}$$

de forma que $r^2 \dot{\theta}$ seja constante.
 tal quantidade está diretamente relacionada,
 conforme vimos no 1º tópico, com a velocidade
 angular.

Quando a posição angular da partícula varia de um ângulo pequeno $d\theta$, o raio vetorial varre uma área dada por:

$$dS \approx \frac{r^2 \theta}{2} + r \frac{d\theta}{2} r \theta$$

de forma que

$$\frac{dS}{dt} \approx \frac{r^2}{2} \frac{d\theta}{dt} + \frac{r}{2} \frac{d\theta}{dt} r \theta$$

e tomando o limite $d\theta \rightarrow 0$

$$\frac{dL}{dt} = \frac{r^2}{2} \dot{\theta} = \frac{l^2}{2\mu} = \text{cte}$$

A equação acima estabelece que o "raio vetor" varre áreas iguais em tempos iguais.

Quando $\vec{F}(r) = -\frac{k}{r^2} \hat{r}$ ($k = GM$), tal resultado é conhecido como 2ª lei de Kepler.

Escrivendo a expressão para a energia total em coordenadas polares temos:

$$\begin{aligned}E &= \frac{1}{2} \mu (\dot{r}^2 + r^2 \dot{\theta}^2) + V(r) \\ &= \frac{1}{2} \mu \dot{r}^2 + \frac{l^2}{2\mu r^2} + V(r).\end{aligned}$$

Como $\vec{F}(r)$ é uma força conservativa, (8)
 E é uma constante de movimento, de
 forma que o movimento de uma partícula
(sistema de duas partículas)
 sujeita a uma força central possui
 duas constantes de movimento: a
 energia total E e o vetor momento angular

\vec{L} . Podemos também / portanto usarmos
 as constantes de movimento acima, de
 forma que a partícula (sistema no presente
 caso) somente poderá executar seu movimento
 na região em que

$$\dot{r}^2 = \frac{2}{\mu} [E - V_{ef}(r)], \text{ onde}$$

$$V_{ef}(r) = \frac{L^2}{2\mu r^2} + V(r).$$

Potencial efetivo

Os pontos onde $E = V_{ef}(r)$ são denominados
 pontos de retorno.

Dessa forma:

$$\dot{r} = \pm \sqrt{\frac{2}{\mu} \left[E - V(r) - \frac{L^2}{2\mu r^2} \right]} \quad \text{e}$$

$$t = \pm \sqrt{\frac{\mu}{2}} \int_{r_0}^r \frac{dr'}{\sqrt{E - V(r') - \frac{L^2}{2\mu r'^2}}} \quad (*)$$

de forma que dado um (9)
 a solução radial $r(t)$ pode ser encontrada
 por meio da integração acima.

Para encontrarmos a solução angular
 $\theta(t)$, podemos novamente usarmos a
 relação $L = \mu r^2 \dot{\theta}(t)$.

Dessa forma: $\frac{d\theta}{dt} = \frac{L}{\mu r^2(t)}$ e então

$$\theta(t) = \theta_0 + \int_0^t \frac{k}{m r^2(t')} dt'$$

onde $r(t)$ foi obtido a partir da
 solução $(*)$ anteriormente.

Dependendo da natureza da força
 central é mais conveniente usarmos uma
 forma diferencial da trajetória ao
 invés da integral para $r(t)$. Para
 tal, considere a mudança de
 variável $r = \frac{1}{u}$

$$\begin{aligned} \dot{r} &= -\frac{1}{u^2} \frac{du}{dt} = -\frac{1}{u^2} \frac{du}{d\theta} \cdot \frac{d\theta}{dt} = -r^2 \dot{\theta} \frac{du}{d\theta} = \\ &= -\frac{L}{m} \frac{du}{d\theta}, \end{aligned}$$

onde de agora em diante usaremos a

Váriavel \underline{m} para especificar a massa reduzida \underline{u} , a fim de não confundirmos com \underline{u} .

(10)

$$\ddot{r} = -\frac{L}{m} \frac{d}{dt} \left(\frac{du}{d\theta} \right) = -\frac{L}{m} \left(\frac{d^2 u}{d\theta^2} \right) \frac{du}{d\theta}$$

Como $L = m r^2 \frac{d\theta}{dt}$

$$\ddot{r} = -\frac{L}{m} \left(\frac{L}{mr^2} \right) \frac{d^2 u}{d\theta^2} = -\frac{L^2}{m^2} \frac{u}{r^2} \frac{d^2 u}{d\theta^2}$$

Dessa forma, a equação diferencial para a componente radial $r(t)$ é dada por

$$m\ddot{r} - mr\dot{\theta}^2 = F(r) \quad (\text{Eq 5})$$

$\left. \begin{array}{l} \text{a relação acima é obtida lembrando} \\ \text{(que em coordenadas polares} \\ \text{)} \end{array} \right\}$

$$\ddot{r} = (r\ddot{\theta}^2 - r\dot{\theta}^2) \hat{r} + (r\dot{\theta} + 2r\dot{\theta}\dot{\theta}) \hat{\theta}$$

$$\ddot{r} = (r\ddot{\theta}^2 - r\dot{\theta}^2) \hat{r} + (r\dot{\theta} + 2r\dot{\theta}\dot{\theta}) \hat{\theta}$$

$$\text{e portanto } -\frac{L}{m} \frac{u^2}{r^2} \frac{d^2 u}{d\theta^2} - mr \frac{L^2}{m^2 r^4} = F(r)$$

$$-\frac{L}{m} \frac{u^2}{r^2} \frac{d^2 u}{d\theta^2} - \frac{L^2}{m r^3} = F(r)$$

ou ainda

$$\frac{d^2 u}{d\theta^2} + \frac{L^2}{u^2 r^3} = F(r)$$

ou seja a equação diferencial da trajetória é dada por

$$\frac{d^2 u}{d\theta^2} + u = -\frac{m}{L^2 u^2} F\left(\frac{1}{u}\right)$$

Exemplo:

(11)

Dada um a força central cuja órbita é dada por $r = K e^{-\alpha\theta}$ (sendo K e α constantes), encontre:

- a expressão para a força central
- Determine $r(t)$ e $\theta(t)$
- encontre a energia da órbita

Dada a equação anterior

$$\frac{d^2 u}{d\theta^2} + u = -\frac{m}{L^2} \frac{1}{r^2} F\left(\frac{1}{u}\right)$$

$$\text{obtemos que } u = \frac{1}{K} e^{-\alpha\theta}$$

$$\frac{d^2 u}{d\theta^2} = \frac{\alpha^2}{K} e^{-\alpha\theta} = \alpha^2 u$$

Então:

$$\frac{d^2 u}{d\theta^2} = \alpha^2 u \quad \text{de forma que}$$

$$(1+\alpha^2) u = -\frac{m}{L^2} \frac{1}{u^2} F\left(\frac{1}{u}\right)$$

$$F\left(\frac{1}{u}\right) = -\frac{L^2}{m} (1+\alpha^2) \cdot u^3 = -\frac{L^2}{m} \frac{(1+\alpha^2)}{r^3}$$

Dado que

$$L = m r^2 \dot{\theta}$$

(12)

$$\frac{dr}{dt} = K \alpha e^{\alpha \theta} \dot{\theta} = \alpha r \dot{\theta}, \text{ temos}$$

$$L = m r^2 \dot{\theta} = m r^2 \frac{\dot{r}}{dr} = \frac{m r \dot{r}}{\alpha}$$

Como L é constante

$$\frac{dr}{dt} = \frac{\alpha L}{mr} \Rightarrow r dr = \frac{\alpha L}{m} dt$$

e então $\frac{r^2}{2} + C = \frac{L}{m} t \alpha$

$$r(t) = \sqrt{\left(\frac{L}{m} t \alpha - C \right)}$$

$$\text{Como } \frac{r}{K} = e^{\alpha \theta} \text{ e } \theta = \frac{1}{\alpha} \ln \left(\frac{r}{K} \right)$$

temos: $\theta(t) = \frac{1}{\alpha} \ln \left(\frac{2C + \alpha L t / m}{K} \right)$

Finalmente, temos que a energia total

e dada por $E = \frac{1}{2} m \dot{r}^2 + \frac{L^2}{2mr^2} + U(r)$

onde $U(r) = - \int_{\infty}^r F(r') dr' = \int_{\infty}^r \frac{L^2}{m r'^3} (1 + \alpha^2) dr'$

$$= \frac{L^2}{2mr^2} (1 + \alpha^2)$$

Então

$$E = \frac{1}{2} m \dot{r}^2 + \frac{L^2}{2mr^2} - \frac{L^2}{2mr^2} (1 + \alpha^2)$$

$$\text{Como } L = m r^2 \dot{\theta}$$

$$E = \frac{1}{2} m \dot{r}^2 + \frac{L^2}{m^2 r^4} + \frac{L^2}{2mr^2} - \frac{L^2}{2mr^2} (1 + \alpha^2) \\ = 0$$

(13)

Lei do inverso do quadrado da distância (14)

Dada a força central $\vec{F}(r) = -\frac{k}{r^2} \hat{r}$ com $k > 0$ (no problema de Kepler $k = GMm$),

a energia potencial é dada por

$$V(r) = - \int_{\infty}^r \frac{k}{r'} dr' = -\frac{k}{r},$$

de forma que o potencial efetivo $V_{\text{eff}}(r)$ é dado por

$$V_{\text{eff}}(r) = \frac{L^2}{2mr^2} - \frac{k}{r}$$

Vamos examinar o comportamento de $V_{\text{eff}}(r)$.

* Note que $V_{\text{eff}}(r) \rightarrow \infty$ para $r \rightarrow 0$ e $V_{\text{eff}}(r) \rightarrow 0$ para $r \rightarrow \infty$. Por outro lado

ela apresenta uma raiz dada por

$$-\frac{k}{r} + \frac{L^2}{2mr^2} = 0 \Rightarrow r_0 = \frac{L^2}{2mk}.$$

* Além disso, ela apresenta os pontos de mínimo e inflexão dados por:

$$V'_{\text{eff}}(r) = 0 \Leftrightarrow r_m^* = \frac{L^2}{mk}$$

$$r = r_m$$

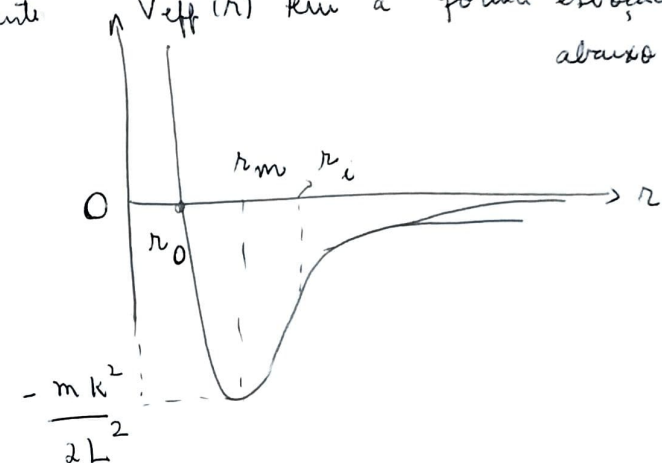
que é um ponto de mínimo nos:

$$V''_{\text{eff}}(r_m) = -\frac{2k}{r_m^3} + \frac{3L^2}{m r_m^4} = \frac{m^3 k^4}{L^6} > 0.$$

Além disso, $V_{\text{eff}}(r)$ apresenta um ponto de inflexão dado por

$$r_i = \frac{3L^2}{2k}$$

Finalmente $V_{\text{eff}}(r)$ tem a forma esboçada abaixo:



Conforme vimos anteriormente, a partícula se moverá na região onde $\dot{r}^2 = \frac{2}{m} [E - V_{\text{eff}}(r)] \geq 0$ ou seja, quando $E \geq V_{\text{eff}}(r)$.

Para um E fixo, os pontos de retorno não aqueles em que $E = V_{\text{eff}}(r) = -\frac{k}{r} + \frac{L^2}{2mr^2}$ que podem ser calculados por meio da equação:

$$\frac{1}{r^2} - \frac{2mk}{L^2} \cdot \frac{1}{r} - \frac{2mE}{L^2} = 0,$$

cujas raízes são:

$$\frac{1}{r_1} = \frac{m\kappa}{L^2} + \sqrt{\left(\frac{m\kappa}{L^2}\right)^2 + \frac{2mE}{L^2}}$$

(16)

$$\frac{1}{r_2} = \frac{m\kappa}{L^2} - \sqrt{\left(\frac{m\kappa}{L^2}\right)^2 + \frac{2mE}{L^2}}$$

Sendo r_1 e r_2 denominadas distâncias de maior aproximação e menor aproximação da partícula ao centro de força (ou de um corpo/planeta em relação ao outro).

$$r_1 \text{ e } r_2 \text{ valem para } -\frac{m\kappa^2}{2L^2} \leq E < 0_f$$

Conforme discutiremos a seguir:

1) O primeiro caso a ser considerado é aquele em que $E = -\frac{m\kappa^2}{2L^2}$. Note que

nesse caso $r_1 = r_2$ e corresponde ao

limite em que $E = \underbrace{V_{eff}(r_m)}$ e
mínimo do potencial efetivo

Consistente com uma trajetória circular de raio $\therefore r_m = \frac{L^2}{m\kappa}$.

Como outros valores de r não são possíveis neste caso, temos que o momento angular $| \vec{L} |$ e $\dot{\theta}$ são dados por

$$L = m r^2 \dot{\theta} \quad \text{e} \quad \dot{\theta} = \frac{L}{m r^2} = \frac{m \kappa^2}{L^3}$$

(17)

consistente com um movimento circular uniforme.

2) O segundo caso a ser considerado é aquele em que $-\frac{m\kappa^2}{2L^2} < E < 0$ no qual a trajetória da partícula planeta corporifica configurada numa região anular definida por $r_1 \leq r \leq r_2$, sendo r_1 e r_2 calculados anteriormente, conforme ilustrado abaixo:



Quando se atinge r_1 e r_2 , temos que $\dot{r} = 0$ mas

$$m \ddot{r} = \frac{L^2}{2mr^3} + F(r) = -\frac{dV_{eff}}{dr}$$

Como $-\frac{dV_{eff}}{dr} > 0$ para $r = r_1$ e $-\frac{dV_{eff}}{dr} < 0$ para $r = r_2$, \dot{r} muda de sinal em r_1 e r_2 .

3) Para $E \geq 0$ a trajetória da partícula
fica fora do círculo de raio r_1 , isto
é o movimento da partícula fica
delimitado na região nor $r > r_1$. Nesta
condição somente existe a solução $E = V_{\text{eff}}(r)$
correspondente a r_1 que é a distância de
maior aproximação. O movimento será ilimitado /
não confinado.

Vamos agora achar as possíveis
trajetórias para os diferentes valores de
energia.

Dada a equação diferencial para
a trajetória que obtivemos anteriormente

$$\frac{d^2u}{d\sigma^2} + u = -\frac{m}{L^2}u^2 \left(-ku^2 \right),$$

para $f(r) = -\frac{k}{r^2}$

temos que a equação diferencial
é a mesma de um oscilador harmônico
sujeito a uma força constante e
dada por:

$$\frac{d^2u}{d\sigma^2} + u = \frac{m k}{L^2}$$

Cuya solução geral é

$$u(\sigma) = A \cos \theta + B \sin \theta + \frac{m k}{L^2}$$

colhendo como $u(0)$ o ponto em (19)
que a partícula esteja na distância
de maior aproximação (e portanto $\frac{du(0)}{d\sigma} = 0$)

temos que

$$u(0) = A + \frac{m k}{L^2} = \frac{m k}{L^2} + \sqrt{\left(\frac{m k}{L^2}\right)^2 + 2mE}$$

de forma que

$$A = \sqrt{\left(\frac{m k}{L^2}\right)^2 + \frac{2mE}{L^2}}$$

Analogamente, a constante B é obtida
impondo que

$$\frac{du(0)}{d\sigma} = 0 \Rightarrow B = 0, \text{ de}$$

forma que

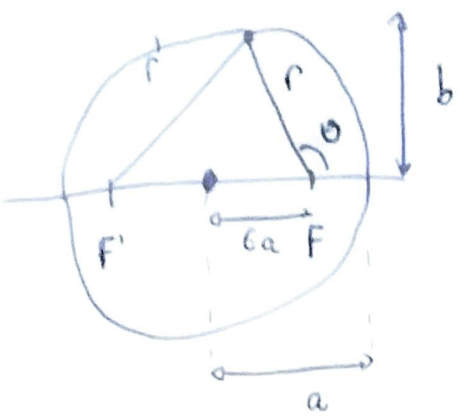
$$u = \frac{1}{r} = \frac{m k}{L^2} + \sqrt{\left(\frac{m k}{L^2}\right)^2 + \frac{2mE}{L^2}} \cos \theta$$

A trajetória descreta pela equação acima
pode ser circular se $\bar{r} = -\frac{m k^2}{2L^2}$, ou elíptica

se $-\frac{m k^2}{2L^2} < E < 0$, cuja excentricidade ϵ

$$\text{é dada por } \epsilon = \sqrt{1 + \frac{2L^2 E}{m k^2}}$$

Se $E = 0$, a trajetória será parabólica e
se $E > 0$, a trajetória será hiperbólica.

Lembreti:Elipse:

é o lugar geométrico dos pontos de um plano cuja soma das distâncias a dois focos fixos (F e F') é constante, isto é,
 $r + r' = 2a$, onde a é o semi-eixo maior
da elipse. O semi-eixo menor está relacionado
com o menor com a relação
 $b = a\sqrt{1 - e^2}$

Lembrando que

$$r'^2 = r^2 + 4e^2a^2 - 4ea^2 \cos(180^\circ - \theta)$$

$$r'^2 = r^2 + 4e^2a^2 + 4ea^2 \cos \theta$$

Por outro lado

$$r'^2 = r^2 - 4ar + 4a^2$$

Comparando as equações acima, obtemos

$$r(1 + \cos \theta) = a(1 - e^2)$$

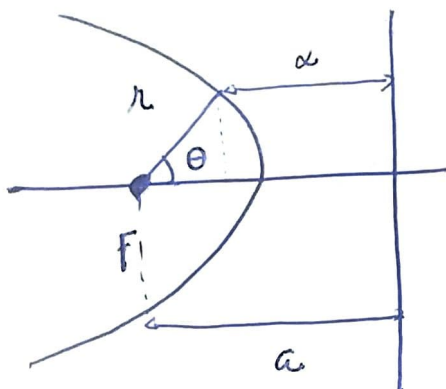
e finalmente $\frac{1}{r} = \frac{1 + e \cos \theta}{a(1 - e^2)}$

onde $e < 1$.

Parábola

(9-2)

É o lugar geométrico dos pontos de um plano equidistantes a um ponto fixo F e a uma reta geratriz que dista a de F .



Como α é igual a r (pela definição)

Temos que

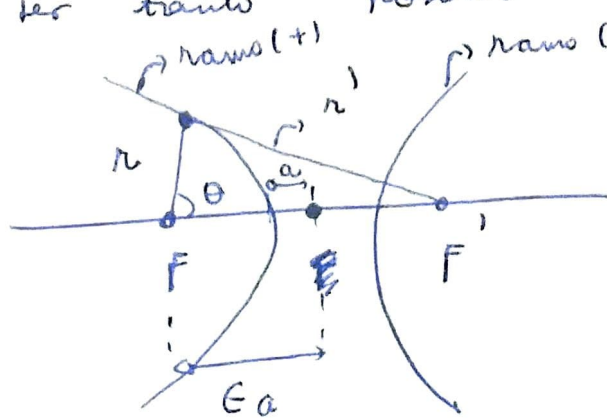
$$a - r \cos \theta = r \quad \text{e finalmente}$$

$$a = r(1 + \cos \theta) \quad \text{ou}$$

$$\text{an da} \quad \frac{1}{r} = \frac{1}{a}(1 + \cos \theta)$$

Hiperbole

É o lugar geométrico dos pontos de um plano cuja diferença das distâncias a dois focos fixos é constante. Essa distância pode ser tanto positiva como negativa.



$$r' - r = 2a$$

Então

19-3

$$r'^2 = r^2 + 4\epsilon^2 a^2 - 4r \epsilon a \cos \theta$$

Como

$$r'^2 = r^2 + 4ar + 4a^2 \quad \text{obtemos}$$

$$\epsilon^2 a^2 - \epsilon ar \cos \theta = ar + a^2$$

$$a^2 (\epsilon^2 - 1) = ar (1 + \cos \theta)$$

e finalmente

$$\frac{1}{r} = \frac{(1 + \cos \theta)}{a(\epsilon^2 - 1)} \quad (\text{para o ramo } +)$$

e análogamente $(\text{as usamos } r' - r = -2a)$

$$\frac{1}{r} = \frac{\epsilon \cos \theta - 1}{a(\epsilon^2 - 1)}$$

para o ramo (+).

Note que as três cônicas acima podem ser escritas sob a forma

$$\frac{1}{r} = A + B \cos \theta \quad (B > 0)$$

• Elipse $\Rightarrow A > B$ e $\epsilon = \frac{B}{A}$, $a = \frac{A}{A^2 - B^2}$

• Parábola $a = \frac{1}{B} = \frac{1}{B}$

• Hiperbola $\epsilon = \frac{B}{A}$, $a = \frac{A}{B^2 - A^2}$, onde $B > A$ (B ramo (+)).
Analogamente p/ o ramo (-)

Leis de Kepler

(m → massa reduzida)

(20)

O movimento confinado numa região para

$$-\frac{mk^2}{2L^2} \leq E \leq 0 \quad \text{cuj a trajetória é elíptica}$$

Como $\frac{dS}{dt} = \frac{L}{2m} \Rightarrow S = \frac{L}{2m} t$, onde

é o tempo necessário para completar uma revolução ao redor do centro de força de uma trajetória elíptica.

Como $S = \frac{L}{2m} t = \pi ab = \pi a^2 \sqrt{1 - e^2}$,

Comparando com a equação da elipse

obtemos $\frac{1}{a(1-e^2)} = \frac{m k L}{L^2}$

$$\frac{e}{a(1-e^2)} = \sqrt{\left(\frac{mk}{L^2}\right)^2 + \frac{2mE}{L^2}}$$

e portanto

$$e = \sqrt{1 + \frac{2L^2E}{mk^2}} \quad \text{e } a = \frac{L}{2(-E)}$$

Assim $S = \pi a^2 \sqrt{\frac{2(-E) L^2}{mk^2}} = \frac{L}{2m} t$

$$\therefore \pi a^2 \sqrt{\frac{L^2}{mk^2} \frac{1}{a}} = \frac{L}{2m} t$$

$$\pi^2 a^4 \frac{L^2}{mk^2} = \frac{L^2 t^2}{4m^2}$$

$$\frac{t^2}{8} = \frac{4\pi^2}{k}$$

ou seja, a razão $\frac{r^2}{a^3}$ é uma constante para a massa reduzida \underline{m} .

No caso em que $K = G m_1 m_2$, temos

$$\frac{r^2}{a^3} = \frac{4 \underline{m} m_2}{(m_1 + m_2) G m_1 m_2} \pi^2$$

$$\frac{r^2}{a^3} = \frac{4 \pi^2}{G(m_1 + m_2)},$$

que constitui a 3ª lei de Kepler.

E' importante notarmos que enquanto a 1ª e 2ª lei de Kepler valem para qualquer

forças centrais, a 3ª lei de Kepler considera

uma força central $\vec{F}(r) = -\frac{k}{r^2} \vec{r}$.

Propriedades de um movimento confinado

Quando o movimento de uma partícula é restrito a uma vizinhança fixa do centro de força, o movimento é dito confinado.

Sempre existe uma distância de maior afastamento (r_{\max}) em todos os movimentos confinados. A quantidade (r_{\min}), que é a distância de menor aproximação, nem sempre existe e depende da natureza da força.

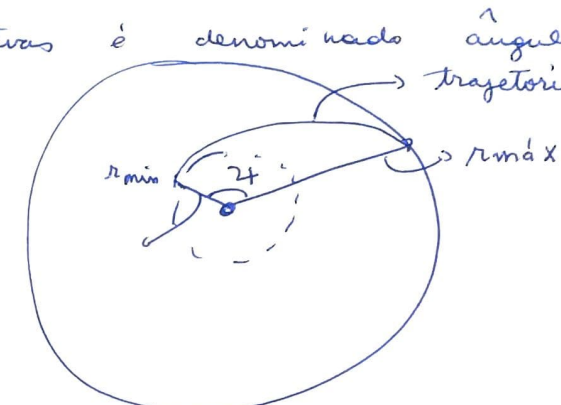
$$(\text{Ex: } r_{\min} = a \text{ para } \vec{F}(r) = k\vec{r}^2).$$

(22)

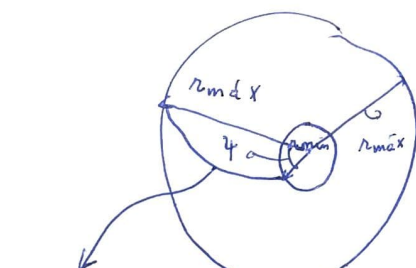
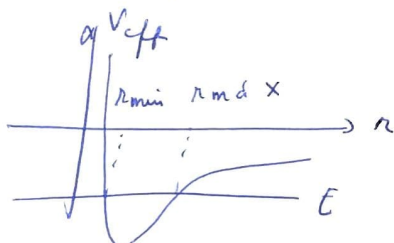
No caso de uma partícula sujeita a uma força central, r_{\max} define um raio de circunferência que delimita a região de movimento. Se existir um $r_{\min} \neq 0$ ela também define o raio de uma outra circunferência delimitadora, de forma que o movimento torna-se limitado nos $r_{\min} \leq r \leq r_{\max}$, onde r_{\min} e r_{\max} são também chamados de distâncias apsoidais.

23

a trajetória é simétrica por reflexão à reta que passa pelo centro da força. O ângulo φ entre duas apsides consecutivas é denominado ¹ ângulo apsidal,



Esgematicamente temos



trajetória

Dadas as condições iniciais (ex. trajetória)

$$u(0) = u_0 \text{ e } \frac{du(0)}{dr} = 0 \quad (\text{ponto de retorno})$$

onde $\frac{1}{\mu_0}$ pode ser r_{\min} ou r_{\max} , verificamos

que $\frac{d^2u}{dr^2} + u = -\frac{m}{L^2u^2} F\left(\frac{1}{\mu}\right)$ não é afetada por reflexão ($\theta \rightarrow -\theta$), implicando que

O ângulo φ depende da natureza da força central. Como a trajetória é simétrica em relação ao eixo de direção de qualquer apside, os ângulos apsidais de um movimento com trajetórias fechadas devem ser iguais e uma fração racional de 2π (ou π no caso de um movimento elíptico). Se o ângulo apsidal não for uma fração racional de 2π , a trajetória não é fechada, uma vez que a partícula nunca retorna à origem.

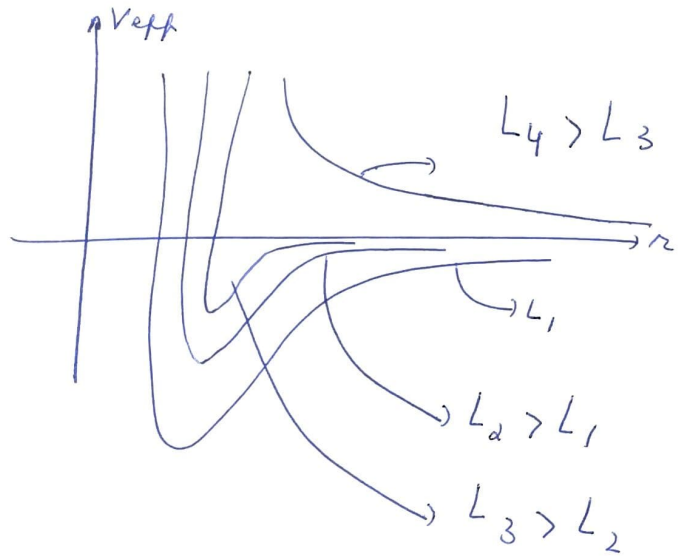
No caso de $\vec{F} = -\frac{k}{r^2}\vec{r}$, a trajetória é fechada. (elíptica)

Estabilidade de órbitas circulares

(24)

com $\dot{r} = 0$ (circular) se

Dada uma força central atrativa $\vec{F}(r) = -\frac{k}{r^2} \hat{r}$
 e o potencial efetivo $V_{\text{eff}}(r) = -\frac{k}{r} + \frac{L^2}{2mr^2}$
 é sempre possível "contrabalançar" a
 força atrativa escolhendo um L apropriado,
 conforme ilustrado na figura abaixo



Dada a equação

$$\frac{1}{2}m\dot{r}^2 + V_{\text{eff}}(r) = \text{constante } (E)$$

$\underbrace{V(r)}_{\text{potencial}} + \frac{L^2}{2mr^2}$

ou equivalentemente

$$mr'' = F(r) + \frac{L^2}{mr^3} = -\frac{dV_{\text{eff}}}{dr},$$

a trajetória será circular de raio \bar{r}

(25)

$$\left(\frac{dV_{\text{eff}}}{dr} \right) \Big|_{r=\bar{r}} = 0 \quad \text{e} \quad \left(\frac{d^2V_{\text{eff}}}{dr^2} \right) \Big|_{r=\bar{r}} > 0$$

Como $\frac{dV_{\text{eff}}}{dr} \Big|_{r=\bar{r}} = -\frac{L^2}{m\bar{r}^3} - F(\bar{r})$

segue que

$$\frac{L^2}{m\bar{r}^3} = -F(\bar{r}).$$

Aleim disso

$$\frac{d^2V_{\text{eff}}}{dr^2} \Big|_{r=\bar{r}} = \frac{3L^2}{m\bar{r}^4} - F'(\bar{r}) > 0$$

ou andar

$$3\frac{F(\bar{r})}{\bar{r}} + F'(\bar{r}) < 0$$

ou equivalentemente

$$F(\bar{r}) + \frac{\bar{r}}{3} F'(\bar{r}) < 0.$$

Por outro lado, para $r = \bar{r}$ em que

$$L = m\bar{r}^2\dot{\theta} \quad \text{e} \quad F(\bar{r}) = -\frac{L^2}{m\bar{r}^3}, \quad \text{segue}$$

$$\text{que } \frac{d\theta}{dt} = \sqrt{-\frac{m\bar{r}^3 F(\bar{r})}{m\bar{r}^2}} = \sqrt{-\frac{F(\bar{r})}{m\bar{r}}}$$

Como no movimento circular $\dot{\theta} = \text{constante}$, e este movimento oscilatório é caracterizado por um r_{\min} e r_{\max} , podemos estender o ângulo aparente φ nela expressão acima de

forma que

$$\varphi = \frac{2}{2} \sqrt{-\frac{F(\bar{r})}{m\bar{r}}}$$

pois após um intervalo de tempo $\frac{T}{2}$ o corpo / partícula foi de r_{\min} até r_{\max} formando o ângulo $\Delta\theta = 2\pi$.

Como $\omega = \frac{2\pi}{T}$ onde ω_0 foi calculado anteriormente

$$\varphi = \frac{2\pi}{T} \sqrt{-\frac{F(\bar{r})/m\bar{r}}{-\frac{1}{m} \left[\frac{3}{\bar{r}} F(\bar{r}) + F'(\bar{r}) \right]}}$$

Podendo ser ainda resrito como

$$\varphi = \frac{\pi}{\sqrt{3 + \frac{F'(\bar{r})}{F(\bar{r})}}}$$

Lembrando que a expressão acima é aproximada e vale para uma trajetória aproximadamente circular (excs).

Porém elas não diz porque para uma força central, a trajetória será fechada. Conforme calculamos anteriormente

$$\frac{\bar{r} F'(\bar{r})}{F(\bar{r})} = \frac{\bar{r} (+n K \bar{r}^{-n-1})}{-K \bar{r}^{-n}} = -n \quad \text{e}$$

O ângulo aparente portanto vale

$$\varphi = \frac{\pi}{\sqrt{3-n}}$$

Note que apenas para $n = -1$ e $n = 2$

φ é um múltiplo intérino de π .

O primeiro caso corresponde a uma força do tipo $\vec{F}(r) = -kr$ e o segundo à força central $\vec{F}(r) = -kr^{-2}$

Dada uma força central

$$\rightarrow F(r) = -\frac{k}{r^n} \hat{r} \quad \text{com } n > 1$$

$$F'(\bar{r}) = +\frac{n k}{\bar{r}^{n+1}} \quad \text{temos}$$

$$-\frac{k}{\bar{r}^n} \left[1 + \frac{n}{3} \right] < 0$$

ou seja a trajetória circular será

$$\text{estável apenas se } 1 - \frac{n}{3} > 0$$

$$\text{ou } n < 3 \quad //$$

Uma órbita elíptica (mas quase circular, isto é, $E \ll 1$) pode ser considerada como circular no qual uma perturbação é aplicada.

Mostaremos a seguir que tal tratamento nos permitirá estimar o ângulo apsidal ϑ bem como se a trajetória elíptica é aberta ou fechada.

Neste caso, expandindo $V_{\text{eff}}(r)$ em torno do mínimo $r = \bar{r}$ consistente com a trajetória circular, temos

$$V_{\text{eff}}(r) \sim V_{\text{eff}}(\bar{r}) + \frac{d^2 V_{\text{eff}}}{dr^2} \Big|_{r=\bar{r}} \frac{(r-\bar{r})^2}{2},$$

até aí.

26

onde $\frac{d V_{\text{eff}}}{dr} \Big|_{r=\bar{r}} = 0$ pelo fato de expansão ser em torno do mínimo do potencial efetivo (onde a trajetória é circular).

Neste caso, sendo $\omega_0^2 \equiv \frac{1}{m} \frac{d^2 V_{\text{eff}}}{dr^2} \Big|_{r=\bar{r}}$

temos que

$$m \ddot{r} = -m \omega_0^2 (r - \bar{r})$$

Chamando $\xi = r - \bar{r}$ temos

$\ddot{\xi} + \omega_0^2 \xi = 0$, que é a mesma equação de movimento de um oscilador harmônico unidimensional, de forma que a perturbação na estabilidade da órbita circular terá "caso hr" harmônico.

Conforme vimos anteriormente

$$\frac{d^2 V_{\text{eff}}}{dr^2} \Big|_{r=\bar{r}} = -\frac{3}{\bar{r}} F(\bar{r}) - F'(\bar{r})$$

$$\text{e portanto } \omega_0^2 = -\frac{1}{m} \left[\frac{3}{\bar{r}} F(\bar{r}) + F'(\bar{r}) \right]$$

27

Espectroscopia de Rutherford

(31)

Os primeiros estudos sobre a estrutura do átomo começaram no século XIX, porém apenas com a descoberta dos elétrons em 1897 foi que a estrutura interna dos átomos começou a ser investigada.

Citamos o modelo de Thomson (pudim de passas) onde as cargas positivas estavam distribuídas uniformemente em uma esfera "gelatinosa" e os e⁻s, sendo muito menores, estavam encrustados dentro dela de forma a manter a neutralidade do átomo e o equilíbrio elétrico.

O raio de um átomo, era da ordem de 10^{-10} m (o raio de um átomo típico segundo

Em 1911, Rutherford mostrou a inadequação do modelo de Thomson ao incidir partículas alfa sobre os átomos. Rutherford mostrou que ao invés de ser ∞ destruída pelo átomo, as cargas positivas estavam concentradas no núcleo do átomo.

Segundo o modelo de Thomson, uma vez que as cargas positivas estavam distribuídas de forma uniforme sobre todo o volume de raio 10^{-10} m, a repulsão coulombiana não seria "intensa" o suficiente para produzir grandes deflexões de partículas alfa. Experimentalmente,

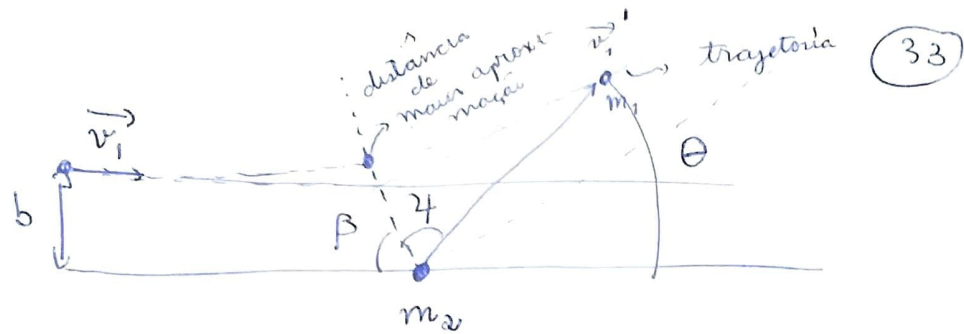
verificou-se que algumas partículas alfa sofreram deflexões significativamente grandes, sendo até partículas alfa desviadas de volta também encontradas.

Portanto, a existência de uma pequena, mas finita "probabilidade" de desvio à ângulos grandes pode ser explicada pelo modelo de Thomson. Isso levou a Rutherford a propor um modelo atômico novo, no qual as cargas positivas estavam concentradas numa pequena região denominada de núcleo. Neste caso, sendo as dimensões do núcleo

"pequenas" e suficientes, a partícula alfa incidindo sobre o núcleo seria desviada devido à "frente repulsa coulombiana". Como a massa do é⁺ é maior do que a massa do núcleo, Rutherford despreza a contribuição elétrica.

A figura abaixo ilustra o desvioamento de uma partícula alfa (de carga $Z_1 e$) de massa m_1 , incidindo sobre um núcleo de massa m_2 e de carga $+Z_2 e$, sendo e a carga do elétron. Como a repulsão coulombiana é uma força

central, toda discussão que apresentamos aqui pode ser utilizada, dentre elas usamos a conservação da energia, do vetor momento angular e usamos o referencial relativo ao alvo (átomo). Além disso, consideramos a partícula alfa em repouso (no referencial do laboratório).



(33)

Vamos a seguir rever as seguintes relações (obtidas anteriormente)

$$(m_1 + m_2) \ddot{\vec{R}}_{cm} = 0 \Rightarrow \ddot{\vec{R}}_{cm} = \text{cte}$$

$$\ddot{\mu \vec{r}} = \frac{z_1 z_2 e^2}{r^2} \hat{r} \quad \left(\begin{array}{l} \mu = \frac{m_1 m_2}{m_1 + m_2} \\ \vec{r} = \vec{r}_1 - \vec{r}_2 \end{array} \right)$$

$$V(r) = - \int_{\infty}^r \frac{z_1 z_2 e^2}{r'^2} dr' = \frac{z_1 z_2 e^2}{r}$$

$$V_{eff}(r) = \frac{L^2}{2\mu r^2} + \frac{z_1 z_2 e^2}{r}$$

e o momento angular do movimento relativo

pode ser usado mesmas condições antes da colisão e

$$\text{é dado por } \vec{L} = \mu (\vec{r} \times \dot{\vec{r}}) = \mu v_1 b, \text{ pois}$$

como a partícula $\underline{2}$ está em repouso no

referencial do laboratório, $\vec{r} = \vec{v}_1 t$ é o parâmetro de impacto. Uma das interpretações é que b seria a velocidade de maior aproximação se não houvesse interação, de forma que a trajetória seria reta.

(34) pois, novamente como mencionado anteriormente, ($\vec{v}_2 = \vec{0}$ no referencial do laboratório)

Da relação acima, encontramos que a distância de menor aproximação rate faz a condição

$$\frac{\mu v_1^2}{2} = \frac{(\mu v_1 b)^2}{2\mu r_1^2} + \frac{z_1 z_2 e^2}{r_1}$$

ou quando

$$\frac{1}{r_1} = - \frac{z_1 z_2 e^2}{\mu_1 v_1^2 b^2} + \frac{z_1 z_2 e^2}{\mu_1 v_1^2 b^2} \sqrt{1 + \left(\frac{\mu v_1 b}{z_1 z_2 e^2} \right)^2}$$

Para encontrarmos a trajetória da figura devemos lembrar que

$$\frac{d^2}{d\psi^2} \mu + \mu = - \frac{\mu z_1 z_2 e^2}{\mu v_1^2 b^2}, \quad \left(\mu = \frac{1}{r_1} \right)$$

Onde ψ é o ângulo formado / medido entre na direção polar. Portanto

$$\mu(\psi) = A \cos \psi + B \sin \psi - \frac{z_1 z_2 e^2}{\mu v_1^2 b^2}$$

considerando (novamente) $\mu(0) = \frac{1}{r_1}$ e

$\mu'(0) = 0$ temos que

$$\frac{1}{r} = -\frac{z_1 z_2 e^2}{\mu v_1^2 b^2} + \frac{z_1 z_2 e^2}{\mu v_1^2 b^2} \sqrt{1 + \left(\frac{\mu v_1^2 b}{z_1 z_2 e^2} \right)^2} \cos \varphi$$

de forma que a trajetória é uma hipérbole

Alegam pontos:

- Uma vez que a trajetória da partícula é simétrica (sob a ação de uma força central) (veja eq. acima) temos que $\dot{\theta} = \rho$.

Além disso, de acordo com a equação anterior quando $r \rightarrow \infty$ (partícula $\frac{2}{2}$ suficientemente distante da partícula 1)

segue que $r \rightarrow \infty$ e portanto $\varphi \rightarrow \Theta$.
Como $\dot{\varphi} = \beta$

$$\text{portanto } 2\dot{\varphi} + \Theta = \pi \Rightarrow \dot{\varphi} = \frac{\pi - \Theta}{2}$$

sendo Θ o ângulo de
espalhamento

- Foi considerado/tratado o raio do núcleo menor que o raio do clássico do e^- (que é $2,8 \cdot 10^{-13} \text{ cm}$) a fim de tratá-lo.
- Portanto $\cos\left(\frac{\pi - \Theta}{2}\right) = \sin\frac{\Theta}{2}$, de onde

chegamos a expressão para o ângulo

de espalhamento

$$\cot\left(\frac{\Theta}{2}\right) = \frac{\mu v^2 b}{z_1 z_2 e^2}$$

(35)

De acordo com a relação acima, conhecendo-se o parâmetro de impacto b determina-se

④, uma vez que μv^2 e $z_1 z_2 e^2$ são medidos e conhecidos, respectivamente.

Como foi adotado o sistema de referência

fixo no alvo, o ângulo Θ é o mesmo visto daquele no C.M. Para encontrarmos

⑤ no referencial do laboratório, é necessário incluirmos a contribuição do C.M. Entretanto tipicamente $\frac{m_2}{m_1} \gg 1$, de forma que o C.M. pode ser considerado em repouso na origem. Neste caso $\mu \approx m_1$ e Θ é o mesmo daquele medido no laboratório. Determinando-se b obtém-se

⑥. Note que $\Theta \rightarrow \pi$ quando $b \rightarrow 0$ e $\Theta \rightarrow 0$ quando $b \rightarrow \infty$ (partículas de que passam longe do núcleo sofrem pequenas deflexões).

Entretanto, dado que não é possível medirmos b para cada Θ , temos que introdizer outros conceitos para estudar o espalhamento. Isto pode ser feito por meio do conceito de regra de choque

(36)

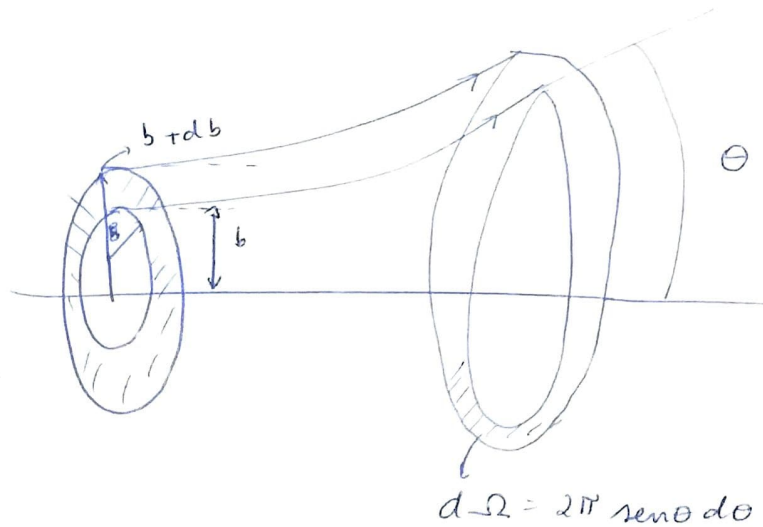
(37)

considere todas as partículas que se aproximam do alvo com parâmetro de impacto entre b e $b + db$. Elas estão sobre um anel inudente de área (de seção de choque) dada por

$$d\sigma = 2\pi b db$$

Essas mesmas partículas emergem entre os ângulos θ e $\theta + d\theta$ em um ângulo solidâo

$$d\Omega = 2\pi \operatorname{sen} \theta d\theta.$$



Portanto

$$\frac{d\sigma}{d\Omega} = \frac{b}{\operatorname{sen} \theta} \left| \frac{db}{d\theta} \right|, \text{ onde o módulo foi intuído}$$

(38)

pois o node decrescer com o aumento de b (devido a ... força central)

Por outro lado $\frac{d\sigma(\theta)}{d\Omega}$ pode ser medida experimentalmente uma vez que

$I \frac{d\sigma}{d\Omega}$ é o número de partículas que foram espalhadas na direção (θ, φ)

formando o ângulo sólido $d\Omega$.

$$\text{Uma vez que } b = \frac{z_1 z_2 e^2}{m_1 v_1^2} \cot\left(\frac{\theta}{2}\right)$$

$$\frac{db}{d\theta} = - \frac{z_1 z_2}{2m_1 v_1^2} \frac{1}{\operatorname{sen}(\theta/2)}$$

e finalmente

$$\frac{d\sigma(\theta)}{d\Omega} = \frac{1}{4} \left(\frac{z_1 z_2 e^2}{m_1 v_1^2} \right) \frac{1}{\operatorname{sen}^4(\theta/2)},$$

que é a fórmula do esparlhamento de Rutherford. Se a considerarmos força coulombiana, a seção de choque seria

a mesma que a eq. anterior.